



# Großwetterlage

**April 2025**

erstellt durch die Vorhersage- und Beratungszentrale, Offenbach  
Ausgabe: 30.05.2025



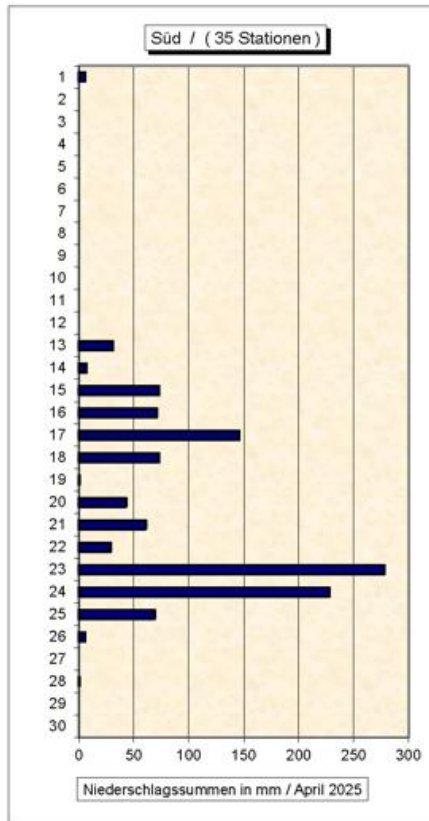
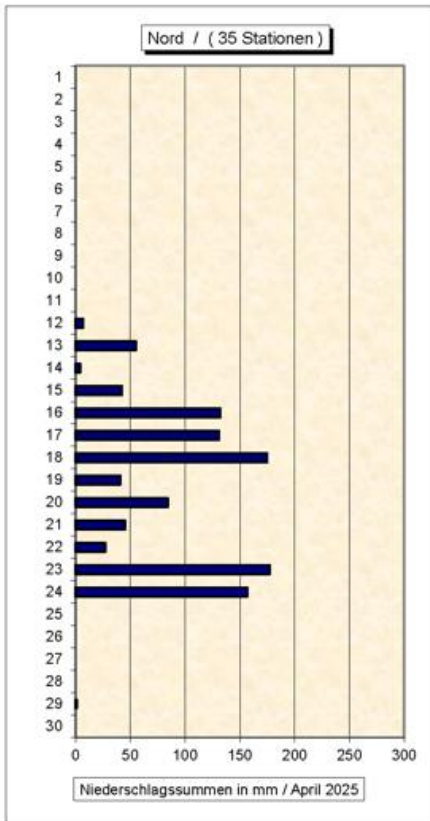




| <b>GWL_2025</b>           | <b>GWL nach Hess &amp; Brezowsky</b> | <b>Kurzbeschreibung</b>   |
|---------------------------|--------------------------------------|---|
| Dienstag, den 01. April   | <b>NEa</b>                           | Nach Durchzug eines Randtrog eines hochreichenden Tiefdrucksystems über dem östlichen Mittelmeerraum verstärkt sich der westeuropäische Höhenrücken und es entwickelt sich ein abgeschlossenes Höhenhoch dicht östlich von Schottland. Dieses stützt das kräftige Bodenhoch über Südsandinavien, wobei kühle und trockene Luft aus Nordosten einströmt mit örtlichem Nachtfrost im Osten und Nordosten. Ab Samstag gelangt mit einer kaum wetterwirksamen Kaltfront eines Tiefs über Osteuropa ein Schwall kontinentaler Arktikluft nach Deutschland. Damit tritt ab Sonntagfrüh recht verbreitet Nachtfrost auf. Schließlich dockt das Höhenhoch über den Britischen Inseln an den südwesteuropäischen Keil an und das Bodenhoch schwächt sich ab. |
| Mittwoch, den 02. April   | <b>NEa</b>                           |   |
| Donnerstag, den 03. April | <b>NEa</b>                           |   |
| Freitag, den 04. April    | <b>NEa</b>                           |   |
| Samstag, den 05. April    | <b>NEa</b>                           |   |
| Sonntag, den 06. April    | <b>NEa</b>                           |   |
| Montag, den 07. April     | <b>NEa</b>                           |   |
| Dienstag, den 08. April   | <b>NEa</b>                           |   |
| Mittwoch, den 09. April   | <b>HB</b>                            | Durch einen Warmluftvorstoß auf der Vorderseite eines über die Azoren nach Süden abtropfenden Höhentrog bildet sich bei Schottland eine neue hochreichende Antizyklone. Schließlich verbindet sich das Höhenhoch mit dem mediterranen Höhenkeil und das Hoch wandert südostwärts.   |
| Donnerstag, den 10. April | <b>HB</b>                            |   |
| Freitag, den 11. April    | <b>HB</b>                            |   |
| Samstag, den 12. April    | <b>SWa</b>                           | Das hochreichende Tief vor Portugal verbindet sich mit einem kräftigen, vom Atlantik sich nähernden Höhentrog, so dass bei uns die Strömung auf Südwest dreht. Eine schwache Kaltfront erreicht Deutschland, löst sich aber dank eines von Südosteuropa ausgehenden Hochkeils auf.  |
| Sonntag, den 13. April    | <b>SWa</b>                           |   |
| Montag, den 14. April     | <b>SWa</b>                           |   |
| Dienstag, den 15. April   | <b>Sz</b>                            | Der westeuropäische Trog dehnt sich weiter nach Süden zur Iberischen Halbinsel aus und von dort zieht ein Tief über England zum Nordmeer. Seine Ausläufer beeinflussen vor allem die Westhälfte Deutschlands. Schließlich verlagert sich die Tiefdruckrinne an der Kaltfront nach Ostdeutschland.   |
| Mittwoch, den 16. April   | <b>Sz</b>                            |   |
| Donnerstag, den 17. April | <b>Sz</b>                            |   |
| Freitag, den 18. April    | <b>TrW</b>                           |   |
| Samstag, den 19. April    | <b>TrW</b>                           | Der Trog wird über Westeuropa regeneriert und Trogrete des alten Trog schwenken über Mitteleuropa hinweg nordwärts nach Südsandinavien. Dabei zeigen sich im Raum Deutschland auch kleine Zyklonen sowohl in der Höhe als auch am Boden. Mit dem Abtropfen des Trog nach Südwesteuropa bildet sich dort auch ein kräftiges Bodentief, das unter Abschwächung über Frankreich zur Nordsee wandert. Sein Ausläufer überquert Deutschland langsam nordostwärts.  |
| Sonntag, den 20. April    | <b>TrW</b>                           |   |
| Montag, den 21. April     | <b>TrW</b>                           |   |
| Dienstag, den 22. April   | <b>TrW</b>                           |   |
| Mittwoch, den 23. April   | <b>HNz</b>                           | Auf der Vorderseite eines vom Nordatlantik über die Britischen Inseln zur Nordsee wandernden Höhenkeiles wird ein anfangs bis zum Boden reichendes Höhentief von Irland nach Italien gesteuert. Derweil stützt der Höhenkeil ein Hoch über dem Nordmeer, das später Südsandinavien erreicht.  |
| Donnerstag, den 24. April | <b>HNz</b>                           |   |
| Freitag, den 25. April    | <b>HNz</b>                           |   |
| Samstag, den 26. April    | <b>HM</b>                            | Der südliche Teil des Hochs langt an der polnischen Ostseeküste an und verlagert sich langsam nach Südosteuropa, wobei aber über Mitteleuropa ein mächtiger Höhenhochdruckblock verbleibt. Am Boden reicht die Hochdruckzone über Norddeutschland bis nach England und zeitweise gibt es auch ein sekundäres Hoch über den Alpen. Nach Süden wird das hohe Geopotential bei uns durch ein flaches Höhentief flankiert, das vom zentralen zum östlichen Mittelmeer zieht.  |
| Sonntag, den 27. April    | <b>HM</b>                            |   |
| Montag, den 28. April     | <b>HM</b>                            |   |
| Dienstag, den 29. April   | <b>HM</b>                            |   |
| Mittwoch, den 30. April   | <b>HM</b>                            |   |

## Legende zur Großwetterlagen-Tabelle

| Nummer | Abkürzung   | Großwetterlage   | Farbe          |
|--------|-------------|--|----------------|
| 1      | <b>Wa</b>   | Westlage, Mitteleuropa überwiegend antizyklonal                    | Hellgrün       |
| 2      | <b>Wz</b>   | Westlage, Mitteleuropa überwiegend zyklonal                        | Grelles Grün   |
| 3      | <b>WS</b>   | Südliche Westlage  | Meeresgrün     |
| 4      | <b>WW</b>   | Winkelförmige Westlage   | Grün           |
| 5      | <b>SWa</b>  | Südwestlage, Mitteleuropa überwiegend antizyklonal                 | Hellorange     |
| 6      | <b>SWz</b>  | Südwestlage, Mitteleuropa überwiegend zyklonal                     | Orange         |
| 7      | <b>NWa</b>  | Nordwestlage, Mitteleuropa überwiegend antizyklonal                | Türkis         |
| 8      | <b>NWz</b>  | Nordwestlage, Mitteleuropa überwiegend zyklonal                    | Blaugrün       |
| 9      | <b>HM</b>   | Hoch Mitteleuropa  | Weiß           |
| 10     | <b>BM</b>   | Hochdruckbrücke Mitteleuropa                                       | Hellgrau 25%   |
| 11     | <b>TM</b>   | Tief Mitteleuropa  | Grau 50%       |
| 12     | <b>Na</b>   | Nordlage, Mitteleuropa überwiegend antizyklonal                    | Blassblau      |
| 13     | <b>Nz</b>   | Nordlage, Mitteleuropa überwiegend zyklonal                        | Blau           |
| 14     | <b>HNa</b>  | Hoch Nordmeer-Island, Mitteleuropa überwiegend antizyklonal        | Himmelblau     |
| 15     | <b>HNz</b>  | Hoch Nordmeer-Island, Mitteleuropa überwiegend zyklonal            | Blaugrau       |
| 16     | <b>HB</b>   | Hoch Britische Inseln  | Helltürkis     |
| 17     | <b>TrM</b>  | Trog Mitteleuropa  | Dunkelgrau 80% |
| 18     | <b>NEa</b>  | Nordostlage, Mitteleuropa überwiegend antizyklonal                 | Lavendel       |
| 19     | <b>NEz</b>  | Nordostlage, Mitteleuropa überwiegend zyklonal                     | Pflaume        |
| 20     | <b>HFa</b>  | Hoch Fennoskandien, Mitteleuropa überwiegend antizyklonal          | Hellrosa       |
| 21     | <b>HFz</b>  | Hoch Fennoskandien, Mitteleuropa überwiegend zyklonal              | Rosa           |
| 22     | <b>HNFa</b> | Hoch Nordmeer-Fennoskandien, Mitteleuropa überwiegend antizyklonal | Hellgelb       |
| 23     | <b>HNFz</b> | Hoch Nordmeer-Fennoskandien, Mitteleuropa überwiegend zyklonal     | Dunkelgelb     |
| 24     | <b>SEa</b>  | Südostlage, Mitteleuropa überwiegend antizyklonal                  | Gelb           |
| 25     | <b>SEz</b>  | Südostlage, Mitteleuropa überwiegend zyklonal                      | Gold           |
| 26     | <b>Sa</b>   | Südlage, Mitteleuropa überwiegend antizyklonal                     | Gelbbraun      |
| 27     | <b>Sz</b>   | Südlage, Mitteleuropa überwiegend zyklonal                         | Rot            |
| 28     | <b>TB</b>   | Tief Britische Inseln  | Braun          |
| 29     | <b>TrW</b>  | Trog Westeuropa  | Dunkelrot      |
| 30     | <b>Ü</b>    | Übergangslage / Unbestimmt   | Grau 40%       |



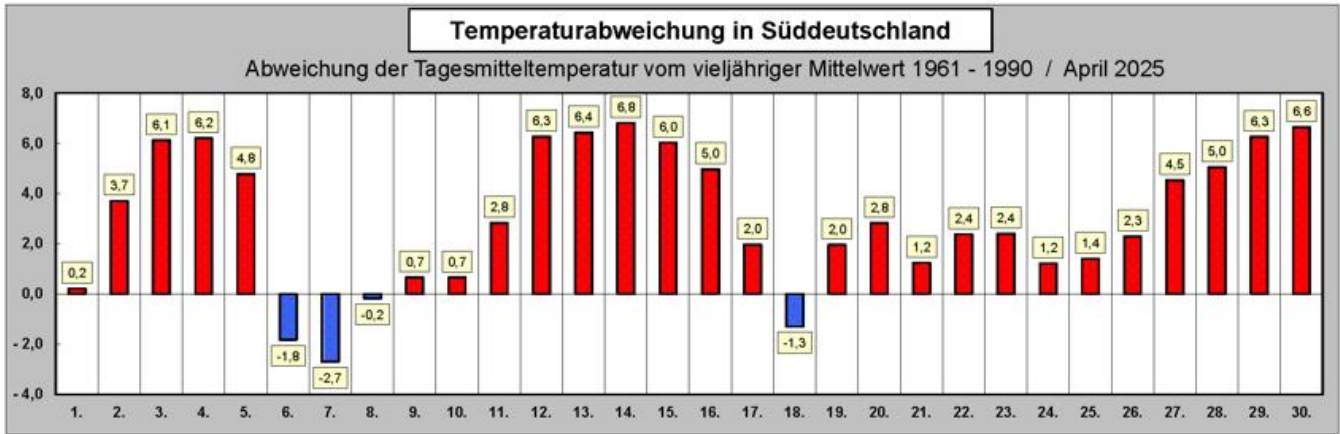
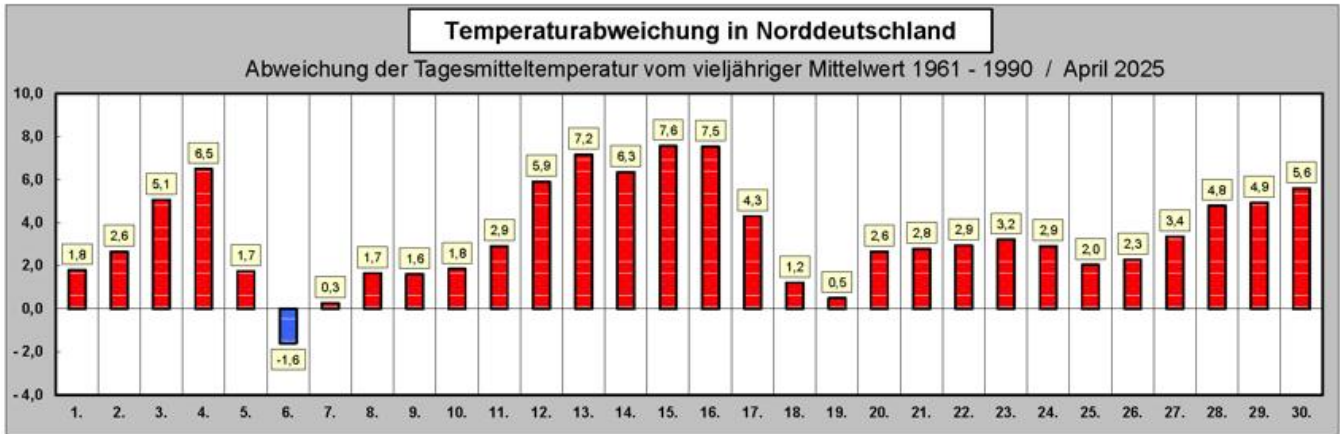
| Tag | Nord | Süd |
|-----|------|-----|
| 1.  | 0    | 7   |
| 2.  | 0    | 0   |
| 3.  | 0    | 0   |
| 4.  | 0    | 0   |
| 5.  | 0    | 0   |
| 6.  | 0    | 0   |
| 7.  | 0    | 0   |
| 8.  | 0    | 0   |
| 9.  | 0    | 0   |
| 10. | 0    | 0   |
| 11. | 2    | 0   |
| 12. | 7    | 2   |
| 13. | 29   | 17  |
| 14. | 6    | 10  |
| 15. | 21   | 26  |
| 16. | 21   | 15  |
| 17. | 24   | 32  |
| 18. | 34   | 21  |
| 19. | 17   | 1   |
| 20. | 21   | 28  |
| 21. | 25   | 23  |
| 22. | 18   | 6   |
| 23. | 17   | 32  |
| 24. | 14   | 33  |
| 25. | 0    | 26  |
| 26. | 0    | 6   |
| 27. | 0    | 0   |
| 28. | 0    | 1   |
| 29. | 4    | 0   |
| 30. | 1    | 0   |

Anzahl der Stationen mit Niederschlag

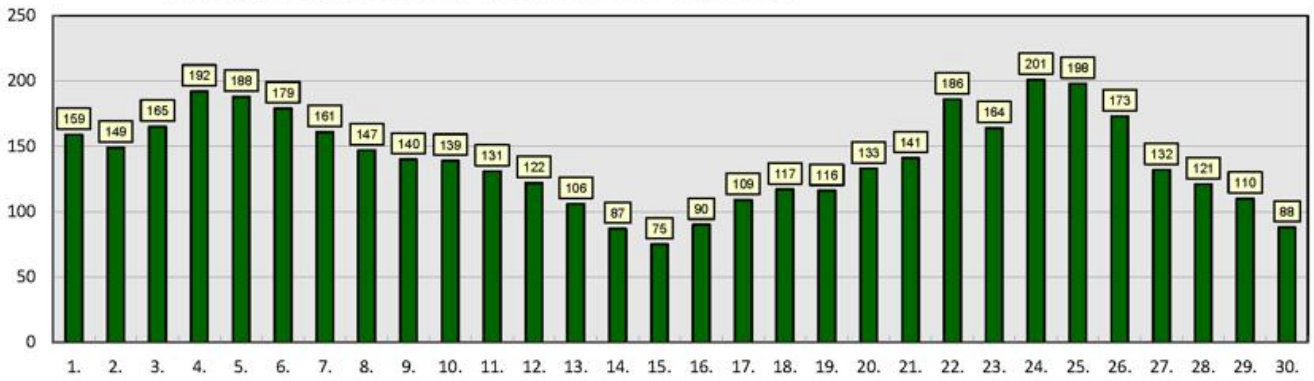
# Temperaturabweichung in Deutschland

positive Temperatur-Abweichung in °C

negative Temperatur-Abweichung in °C



Vorläufige Sonnenflecken - Relativzahlen / April 2025



Zyklonalindex ( objektive Wetterlagenklassifikation ) / April 2025



950 hPa 500 hPa

Monatsmittel deutscher Stationen

April 2025

| Stationen              | Temperatur | Abweichung | Niederschlag | Abweichung | Sonnenschein  | Abweichung | Luftdruck  | Abweichung |
|------------------------|------------|------------|--------------|------------|---------------|------------|------------|------------|
| 10035 Schleswig        | 9,7 °C     | + 3,5 °C   | 45,1 mm      | 82,6 %     | 230,9 Stunden | 137,7 %    | 1019,1 hPA | + 5,3 hPA  |
| 10113 Norderney        | 9,5 °C     | + 2,6 °C   | 24,7 mm      | 60,0 %     | 229,2 Stunden | 130,8 %    | 1019,3 hPA | + 5,5 hPA  |
| 10147 Hamburg          | 10,3 °C    | + 3,0 °C   | 30,2 mm      | 59,2 %     | 238,7 Stunden | 148,5 %    | 1018,9 hPA | + 5,0 hPA  |
| 10170 Rostock          | 9,9 °C     | + 3,6 °C   | 13,0 mm      | 31,0 %     | 248,7 Stunden | 143,3 %    | 1018,8 hPA | + 5,1 hPA  |
| 10338 Hannover         | 10,9 °C    | + 3,1 °C   | 23,4 mm      | 47,0 %     | 249,2 Stunden | 165,9 %    | 1018,6 hPA | + 4,4 hPA  |
| 10379 Potsdam          | 12,0 °C    | + 4,0 °C   | 10,3 mm      | 23,4 %     | 250,7 Stunden | 149,0 %    | 1018,1 hPA | + 3,8 hPA  |
| 10410 Essen            | 12,1 °C    | + 3,6 °C   | 89,3 mm      | 131,3 %    | 246,4 Stunden | 167,6 %    | 1018,0 hPA | + 3,7 hPA  |
| 10438 Kassel           | 10,5 °C    | + 2,6 °C   | 103,3 mm     | 179,0 %    | 258,3 Stunden | 172,5 %    | 1018,2 hPA | + 4,2 hPA  |
| 10454 Wernigerode      | 10,2 °C    | + 3,0 °C   | 20,0 mm      | 39,2 %     | 258,7 Stunden | 172,1 %    | 1018,5 hPA | + 4,4 hPA  |
| 10469 Leipzig          | 11,1 °C    | + 2,7 °C   | 51,8 mm      | 100,8 %    | 233,3 Stunden | 163,0 %    | 1018,1 hPA | + 4,0 hPA  |
| 10496 Cottbus          | 11,8 °C    | + 3,6 °C   | 10,5 mm      | 24,9 %     | 223,0 Stunden | 135,3 %    | 1017,9 hPA | + 4,1 hPA  |
| 10567 Gera             | 10,4 °C    | + 3,4 °C   | 33,1 mm      | 58,0 %     | 220,1 Stunden | 147,0 %    | 1018,1 hPA | + 3,6 hPA  |
| 10609 Trier            | 11,4 °C    | + 3,0 °C   | 45,9 mm      | 86,9 %     | 250,9 Stunden | 159,9 %    | 1017,2 hPA | + 2,9 hPA  |
| 10637 Frankfurt (Main) | 12,5 °C    | + 3,3 °C   | 20,7 mm      | 40,2 %     | 252,6 Stunden | 155,4 %    | 1017,5 hPA | + 3,3 hPA  |
| 10739 Stuttgart        | 11,7 °C    | + 2,8 °C   | 26,2 mm      | 48,9 %     | 253,5 Stunden | 164,5 %    | 1017,0 hPA | + 2,9 hPA  |
| 10763 Nürnberg         | 11,2 °C    | + 3,0 °C   | 23,8 mm      | 50,1 %     | 266,1 Stunden | 160,1 %    | 1017,3 hPA | + 3,3 hPA  |
| 10803 Freiburg         | 12,1 °C    | + 3,1 °C   | 82,8 mm      | 79,8 %     | 242,7 Stunden | 152,4 %    | 1016,3 hPA | + 3,2 hPA  |
| 10870 München          | 10,5 °C    | + 2,9 °C   | 11,1 mm      | 20,4 %     | 256,3 Stunden | 159,5 %    | 1017,0 hPA | + 3,0 hPA  |
| 10895 Passau           | 11,4 °C    | + 4,2 °C   | 27,2 mm      | 44,0 %     | 241,8 Stunden | 145,5 %    | 1016,8 hPA | + 2,8 hPA  |
| 10961 Zugspitze        | -3,8 °C    | + 3,7 °C   | 47,0 mm      | 23,6 %     | 243,0 Stunden | 158,4 %    | -          | -          |

\* Bei allen Abweichungswerten wird der aktuelle Monatsmittelwert dem 30-jährigen Mittelwert (climat-Wert) aus dem Zeitraum 1961 bis 1990 gegenüber gestellt !

Monatsmittel europäischer Stationen

April 2025

| Stationen              | Temperatur | Abweichung | Niederschlag | Abweichung | Sonnenschein  | Abweichung | Luftdruck  | Abweichung |
|------------------------|------------|------------|--------------|------------|---------------|------------|------------|------------|
| 01026 Tromsø           | 0,0 °C     | - 0,7 °C   | 149,0 mm     | 248,3 %    | 109,0 Stunden | 68,1 %     | 1013,0 hPA | + 2,5 hPA  |
| 02935 Jyväskylä        | 4,1 °C     | + 2,8 °C   | 14,0 mm      | 37,8 %     | 225,0 Stunden | 129,8 %    | 1015,8 hPA | + 3,3 hPA  |
| 03005 Lerwick          | 8,0 °C     | + 2,8 °C   | 35,0 mm      | 48,6 %     | 140,0 Stunden | 106,1 %    | 1018,2 hPA | + 5,5 hPA  |
| 03091 Aberdeen         | 9,1 °C     | + 2,8 °C   | 10,0 mm      | 18,9 %     | 180,0 Stunden | 125,0 %    | 1018,4 hPA | + 4,5 hPA  |
| 03772 London           | 12,7 °C    | + 3,8 °C   | 19,0 mm      | 42,2 %     | 252,0 Stunden | 171,4 %    | 1017,5 hPA | + 2,2 hPA  |
| 04030 Reykjavik        | 5,7 °C     | + 2,8 °C   | 31,0 mm      | 53,2 %     | 198,0 Stunden | 141,4 %    | 1014,3 hPA | + 3,9 hPA  |
| 06260 De Bilt          | 11,5 °C    | + 3,5 °C   | 37,0 mm      | 71,2 %     | 267,0 Stunden | 174,5 %    | 1018,3 hPA | + 4,2 hPA  |
| 06447 Brüssel          | 12,3 °C    | + 3,5 °C   | 19,0 mm      | 33,3 %     | 249,0 Stunden | 169,0 %    | 1017,5 hPA | + 3,2 hPA  |
| 06590 Luxemburg        | 10,8 °C    | + 3,3 °C   | 50,0 mm      | 82,0 %     | 248,0 Stunden | 151,1 %    | 1017,1 hPA | + 3,0 hPA  |
| 06700 Genf             | 11,7 °C    | + 2,9 °C   | 73,0 mm      | 112,3 %    | 236,0 Stunden | 146,6 %    | 1015,6 hPA | + 1,4 hPA  |
| 06770 Lugano           | 13,7 °C    | + 3,0 °C   | 177,0 mm     | 116,4 %    | 205,0 Stunden | 116,5 %    | 1015,5 hPA | + 2,2 hPA  |
| 07149 Paris            | 13,6 °C    | + 3,8 °C   | 29,0 mm      | 61,7 %     | 240,0 Stunden | 138,7 %    | 1016,1 hPA | + 1,3 hPA  |
| 07222 Nantes           | 13,6 °C    | + 3,2 °C   | 58,0 mm      | 116,0 %    | 216,0 Stunden | 115,5 %    | 1014,3 hPA | - 0,5 hPA  |
| 07690 Nizza            | 15,6 °C    | + 2,4 °C   | 77,0 mm      | 124,2 %    | 207,0 Stunden | 91,2 %     | 1014,7 hPA | + 1,7 hPA  |
| 08221 Madrid           | 13,8 °C    | + 2,2 °C   | 88,0 mm      | 195,6 %    | 205,0 Stunden | 95,8 %     | 1013,3 hPA | - 2,7 hPA  |
| 08509 Azoren ( Lajes ) | 15,3 °C    | + 0,3 °C   | 114,0 mm     | 134,1 %    | 167,0 Stunden | 105,0 %    | 1017,9 hPA | - 3,3 hPA  |
| 08535 Lissabon         | 16,2 °C    | + 1,1 °C   | 89,0 mm      | 139,1 %    | 195,0 Stunden | 83,0 %     | 1014,1 hPA | - 2,3 hPA  |
| 11035 Wien             | 13,1 °C    | + 3,2 °C   | 28,0 mm      | 54,9 %     | 213,0 Stunden | 105,4 %    | 1016,5 hPA | + 3,2 hPA  |
| 11150 Salzburg         | 11,6 °C    | + 3,0 °C   | 40,0 mm      | 49,4 %     | 249,0 Stunden | 161,7 %    | 1016,3 hPA | + 2,0 hPA  |
| 11518 Prag             | 10,7 °C    | + 3,0 °C   | 42,0 mm      | 110,5 %    | 221,0 Stunden | 131,5 %    | 1017,5 hPA | + 3,7 hPA  |
| 12205 Stettin          | 11,2 °C    | + 3,7 °C   | 7,0 mm       | 18,4 %     | 277,0 Stunden | 185,9 %    | 1018,4 hPA | + 4,6 hPA  |
| 12375 Warschau         | 11,8 °C    | + 4,0 °C   | 30,0 mm      | 93,8 %     | 298,0 Stunden | 120,6 %    | 1017,1 hPA | + 3,2 hPA  |
| 12843 Budapest         | 13,7 °C    | + 2,6 °C   | 41,0 mm      | 107,9 %    | 291,0 Stunden | 158,2 %    | 1016,4 hPA | + 3,6 hPA  |
| 13274 Belgrad          | 14,4 °C    | + 2,0 °C   | 48,0 mm      | 81,4 %     | 183,0 Stunden | 102,8 %    | 1016,2 hPA | + 2,9 hPA  |
| 15420 Bukarest         | 11,4 °C    | + 0,1 °C   | 43,0 mm      | 93,5 %     | 195,0 Stunden | 105,5 %    | 1016,4 hPA | + 3,0 hPA  |
| 15614 Sofia            | 10,2 °C    | + 0,3 °C   | 108,0 mm     | 216,0 %    | 198,0 Stunden | 115,8 %    | 1016,2 hPA | + 2,1 hPA  |
| 16597 Malta ( Luqa )   | 16,5 °C    | + 1,0 °C   | 5,0 mm       | 21,7 %     | 270,0 Stunden | 109,3 %    | 1015,5 hPA | + 1,2 hPA  |
| 16714 Athen            | 16,3 °C    | + 0,9 °C   | 8,0 mm       | 27,6 %     | 244,0 Stunden | 108,0 %    | 1014,5 hPA | + 1,4 hPA  |
| 17116 Bursa            | 11,9 °C    | - 1,0 °C   | 37,0 mm      | 59,7 %     | 202,0 Stunden | 115,4 %    | 1015,3 hPA | + 1,3 hPA  |
| 22550 Archangelsk      | 0,6 °C     | + 0,5 °C   | 17,0 mm      | 56,7 %     | 249,0 Stunden | 128,4 %    | 1011,0 hPA | - 2,5 hPA  |
| 27595 Kasan            | 9,8 °C     | + 5,1 °C   | 46,0 mm      | 124,3 %    | 213,0 Stunden | 103,9 %    | 1012,7 hPA | - 4,4 hPA  |
| 34300 Charkow          | 11,6 °C    | + 2,7 °C   | 24,0 mm      | 66,7 %     | 254,0 Stunden | 156,8 %    | 1015,5 hPA | + 0,3 hPA  |